

DOI: <https://doi.org/10.63359/hzfy0d15>

# تقييم ملوحة التربة وتغيراتها في حوض وادي موزع محافظة تعز باستخدام التقنيات الجيومكانية

ابراهيم عبد الله قائد درويش

## الملخص

تعتبر ملوحة التربة أحد أكثر عمليات تدهور الأراضي شيوعاً، لاسيما في المناطق الجافة وشبه الجافة، حيث يتجاوز معدل التبخر كمية هطول الأمطار. وفي ظل هذه الظروف المناخية، تزداد الأملاح القابلة للذوبان في سطح التربة، مما يؤثر على خصائصها، وتراجع قدرتها الإنتاجية. لهذا تهدف هذه الدراسة إلى تقييم ملوحة التربة ومعرفة تغيراتها المكانية والزمانية في حوض وادي موزع بين عامي 2000 - 2023، باستخدام مركبات لاندسات 5، 8، وتطبيق عدد من المؤشرات الطيفية لاشتقاق طبقات ملوحة التربة، وكشف التغيرات التي طرأت عليها خلال هذه المدة، وتمثل ذلك مكانيًّا من خلال رسم خرائط ملوحة التربة، وتحديد مواضع واتجاه تغيرات ملوحة التربة، بما قد يساعد الجهات التخطيطية في وزارة الزراعة والري من وضع حلول مناسبة لمعالجة مشكلة تدهور التربة بالملوحة. وعليه فقد توصلت نتائج الدراسة إلى أن تربة الحوض تتعرض للتدهور بالملوحة بين مدة وأخرى، مما يؤكد ذلك التغير السلي لمساحة التربة غير المالحة، والتي تراجعت خلال هذه المدة بنحو  $120.1 \text{ km}^2$ ، والتغير الإيجابي لمساحة كل من: التربة قليلة الملوحة التي زادت بنحو  $41.8 \text{ km}^2$ ، والتربة معتدلة الملوحة بزيادة بلغت  $29 \text{ km}^2$ ، والتربة عالية الملوحة التي زادت مساحة تعطيبتها بحوالي  $49.2 \text{ km}^2$  من إجمالي مساحة الحوض.

## Assessment of Soil Salinity and Its Variability in the Wadi Mawza Basin, Taiz Governorate, Using Geospatial Techniques

Ibrahim Abdullah Qaid Darwish

Soil salinity is one of the most common land degradation processes, especially in arid and semi-arid regions, where evaporation rate exceeds amount of rain. under these climatic conditions, soluble salts accumulate on the soil surface, affecting its properties and reducing its productive capacity. Therefore, this study aims to evaluate soil salinity and identify its spatial and temporal variability in Wadi Mawza basin between 2000- 2023, using Landsat 5, 8 images, and applying a number of spectral indicators to derive soil salinity layers, identify the changes that occurred during this period, and represent this spatially by drawing soil salinity maps, and determining the locations, rate and direction of soil salinity changes, which may help planning authorities in Ministry of Agriculture and Irrigation to develop appropriate solutions to address the problem of soil degradation due to salinity. Accordingly, the study results concluded that the basin soil is exposed to deterioration due to salinity from time to time, and what confirms this is the negative change in the area of non-saline soil, which decreased during this period by about  $120.1 \text{ km}^2$ , and the positive change in the area of each of: slightly saline soil, which increased by about  $41.8 \text{ km}^2$ , moderately saline soil, which increased by  $29 \text{ km}^2$ , and highly saline soil, which increased its coverage area by about  $49.2 \text{ km}^2$  of total area basin

## Keywords:

Soil Salinity, Spectral Indicators,  
Remote Sensing, Wadi Mawza, Taiz  
Governorate.

© 2025

Content on this article is an open  
access licensed under creative  
commons CC BY-NC 4.0.



## المقدمة

ويعتبر الحوض سلة غذائية لعدد كبير من سكان محافظة تعز، فضلاً عن نمو عدد السكان، وزيادة الضغط على الموارد الطبيعية كالتربيه التي تتعرض للتدمر بمظاهر مختلفة يأتي في مقدمتها تخلص التربة، وهذا يعني اتساع الفجوة بين احتياجات سكان الحوض من الغذاء وكمية الإنتاج سنوياً. وتطرقت عدد من الأديبيات للملوحة التربة باستخدام تقنية الاستشعار عن بعد، حيث تناولت دراسة (Madani, 2005) ملوحة التربة ومرaciتها باستخدام مركبات لاندستات في واحة سيبة عامي 1987، 1999، وتوصلت النتائج إلى زيادة ملوحة التربة بمقدار الصحف خلال هذه المدة. واستخدم (Dehni & Lounis, 2012) الاستشعار عن بعد لتحديد الترب المتأثرة بالملوحة دراسة تطبيقية على منطقة وهران في الجزائر، واستخدمت الدراسة مركبات لاندستات (7)، وعدد من المؤشرات الطيفية لاستكشاف ملوحة التربة. وتناول (Allbed & Kumar, 2013) تحطيط ورصد ملوحة التربة في المناطق الجافة وشبة الجافة باستخدام الاستشعار عن بعد، وكان هدف الدراسة مناقشة مؤشرات ملوحة التربة والطرق المستخدمة لرصدها لرسم خريطة تملح التربة في المناطق الجافة وشبة الجافة. وتطرقت (Moreira *et al.*, 2015) لإمكانية استخدام البيانات متعددة الأطيف للكشف عن الترب التي تعانى من التملح في البرازيل من خلال استخدام مركبات لاندستات (8)، وأظهرت نتائج الدراسة انتشار الترب الملحة بمناطق سطح التربة بدلاً من نطاقات الامتصاص. ورصد (Narmada *et al.*, 2015) ملوحة التربة من حيث الاستجابة الطيفية في ضواحي كودالور باستخدام نظم المعلومات الجغرافية، وتم اكتشاف تباين ملوحة التربة وتغيراتها من مركبات لاندستات (5)، لثلاث فترات (97, 2000, 2009)، واعتمدت عدة مؤشرات طيفية لتحقيق اهدافها. وقيم (Elhag, 2015) خرائط ملوحة التربة في النظم البيئية الجافة بالملكة العربية السعودية باستخدام تقنية الاستشعار عن بعد، وتم تطبيق العديد من مؤشرات الملوحة، وتقيمها للكشف عن ملوحة التربة، وتم إنتاج خرائط موضوعية لملوحة التربة بصورة مرضية. وتبنا (Gorji *et al.*, 2015) ملوحة التربة ورصلها ورسم خرائطها باستخدام التقنيات الحديثة، واستخدمت الدراسة صور الأقمار الصناعية في إنتاج خرائط ملوحة التربة، أما بالاعتماد على مؤشرات الملوحة التي تولدها النطاقات الطيفية المختلفة، أو باستخدام مؤشرات الغطاء النباتي. وقيم (Iqbal & Mastorakis, 2016) ملوحة التربة باستخدام نظم المعلومات الجغرافية والاستشعار عن بعد بمنطقة زراعة القطن والقمح في باكستان، واستخدمت الدراسة عدد من مؤشرات الملوحة والنبات. ورسم (Azabdaftari & Suna, 2016) خرائط ملوحة التربة في منطقة أضنة، تركيا، باستخدام بيانات لاندستات (7) بين عامي 2009 - 2010، واعتمدت عدة مؤشرات لتحقيق ذلك منها مؤشر اختلاف الملوحة الطبيعي، ومؤشر السطوع، ومؤشر الملوحة. وغذج (Ibrahim, 2016) ملوحة التربة ورسم خرائطها في المناطق الجافة وشبة الجافة باستخدام بيانات الاستشعار عن بعد، واعتمدت الدراسة على عدة مؤشرات للملوحة والغطاء النباتي لإنتاج خرائط تملح التربة من مركبات لاندستات 8. ورسم (Elhag & Bahrawi, 2017) خرائط ملوحة التربة وتقييم مؤشرات الجفاف الهيدرولوجي في البيئات الجافة بجوض وادي الدواسر بالململكة العربية السعودية بقياسات الاستشعار عن بعد، واستخدمت الدراسة مركبات لاندستات (8) لمعرفة مؤشرات الغطاء النباتي الأكثر استجابة لملوحة التربة. وغذج (Asfaw *et al.*, 2023) ملوحة التربة ورسم خرائطها باستخدام الاستشعار عن بعد ونظم المعلومات الجغرافية: حالة مزرعة قصب السكر في ونجي اثيوبيا، واستخدمت الدراسة ستة مؤشرات تتعلق بالملوحة والنباتات لتحقيق هدفها، وتوصلت إلى فاعلية بيانات الاستشعار عن بعد في مُنذجة وكشف التباين المكاني لملوحة التربة. وقدر (Tran *et al.*, 2023) ترسب الملوحة في دلتا نهر ميكونغ (فيتنام) باستخدام مركبات (Landsat 8)، وتوصلت نتائج الدراسة إلى أن ملوحة التربة المشتقة من المركبات متعددة مع نتائج الدراسة الميدانية.

يعاني حوض وادي موزع من تدهور الموارد بسبب زيادة السكان، وتقلبات المناخ بالذات الحرارة والأمطار، ويعود ضغط السكان على الموارد من خلال ممارسة الزراعة الكثيفة، والرعاي الجائر، وإتاع اساليب الري التقليدية، إلى ارتفاع ملوحة التربة، التي تؤدي على المدى الطويل إلى الحد من نمو وتطور المحاصيل الزراعية، وتحد الملوحة العالية للتربيه بالذات أدنى الحوض من قدرة النبات في الحصول على المياه، وهذا يعني فشل زراعة كثير من المحاصيل، وما ينجم عن ذلك من هجر الترب الملحية، وتعد ظاهرة تملح التربة ظاهرة ديناميكية يبني مرaciتها بانتظام، لمعرفة توزيعها

ملوحة التربة واحدة من اخطر مشاكل البيئة التي تؤثر على عدد من مناطق العالم، حيث تؤكد منظمة الاغذية والزراعة (F.A.O)، ومنظمة اليونيسكو التابعة للأمم المتحدة أن إجمالي مساحة الارض ذات الترب الملحية في العالم نحو 322.9 مليون هكتار، منها 69.5 مليون هكتار في إفريقيا، 53.1 مليون هكتار في الشرق الأدنى والأوسط، وتمثل المناطق المتأثرة بالملوحة 20٪ من الأراضي المزروعة في العالم، بينما يرتفع الرقم إلى أكثر من 30٪ في الأراضي الجافة وشبة الجافة. وتحتفل الإحصاءات حول المناطق الملحوية في العالم، حيث تؤكد التقديرات أن مليار هكتار بنسبة 7٪ من هذه المناطق تتأثر بالملح الطبيعي كونها تقع بالمدى القاري للأرض، ونحو 77 مليون هكتار تملح بفعل الأنشطة البشرية، وينتشر تملح التربة بمعدل 2 مليون هكتار/سنة، وهو ما يقابل جزءاً كبيراً من المحاصيل التي يمكن إنتاجها باستخدام أفضل الممارسات الإدارية (Ivushkin, 2014, p.1). ويزداد مشكلة تملح التربة في المناطق الجافة وشبة الجافة بسبب أن 40٪ من ترب هذه المناطق معرضة للتل محلب بأشكال مختلفة (موصلي، 1983، 225). ويعضي تدهور التربة الزراعية بفعل العوامل الطبيعية والبشرية باهتمامات كبيرة، لأنه يهدد استدامة نظم إنتاج الغذاء (Scudiero *et al.*, 2015, p.335).

ويعتبر تملح التربة من أهم المشاكل البيئية في المناطق الجافة وشبة الجافة، فهو شكل من أشكال تدهور تربة المناطق الزراعية، وعليه فان توفير معلومات عن مدى وحجم ملوحة التربة، مهمة لتحسين تحطيط وتنفيذ برامج فعالة لاستصلاحها. ويعود تبخير الرطوبة من سطح أو أعمق التربة الضحلة، وعدم كفاية الأمطار السنوية للتحلص من الأملاح في المنطقة الجذرية للنبات إلى تراكم الأملاح القابلة للذوبان في تربة المناطق الجافة وشبة الجافة، مما يضعف من نجاح هذه الأراضي (Abdelfattah *et al.*, 2009, p.343).

وتنتشر تربة البيئات الجافة بالأملال، اما بسبب الري أو ارتفاع معدلات التبخر، فمساحات كبيرة تتحول سنوياً إلى أراضي غير منتجة لأسباب طبيعية أو بفعل أنشطة الإنسان، ويعود تراكم الأملاح في طبقة التربة العليا، إلى الحد من أمانة استخدام الأرض الزراعية، كونها خطراً يعي شديد يؤثر على نمو عدة محاصيل. وتمد ملوحة التربة مشكلة خطيرة في المناطق التي تستخدم فيها المياه الجوفية ذات المحتوى العالى من الأملاح لأغراض الري (Zewdu *et al.*, 2017, p.92).

وتقلل الملوحة من قدرة التربة على الإنتاج، فالملوحة العالية تحد من قدرة النبات في الحصول على المياه من التربة، مما يؤثر سلباً على نمو المحاصيل والإنتاجية، ويقود في نهاية المطاف إلى تدهور التربة. وتحد ملوحة التربة في المناطق الجافة وشبة الجافة بسبب الري والزراعة الكثيفة، وتعد واحدة من أكثر المشاكل خطورة بين مظاهر تدهور التربة (Akramkhanov, 2011, p.55). وملوحة التربة تعنى ترکز كبير للمركبات الكيميائية مثل كلوريد وكبريتات الكالسيوم والمعنثسيوم والصوديوم في التربة، وبالتالي تسمى التربة بالملحوية (اصليح، 2015, 2). أو أنها عملية تراكم الأملاح في سطح التربة والمنطقة الجذرية للنبات، مما يتسبب في آثار ضارة على النبات والتربيه، يتبعه انخفاض الغلال، وفي النهاية عقم التربة (Lhissou *et al.*, 2014, p.82).

وتفوق تقنية الاستشعار عن بعد على الطريقة التقليدية في تقييم ملوحة التربة حيث تقدم تقييم سريع أكثر إفادة ومهنية لرصد ورسم خرائط ملوحة التربة، ويمكن تحديد ملوحة التربة من بيانات الاستشعار عن بعد التي تم الحصول عليها بواسطة مستشعرات مختلفة عن طريق المؤشرات المباشرة التي تشير إلى خصائص الملح الظاهرة على سطح التربة، أو من خلال المؤشرات غير المباشرة مثل وجود البيئات الملحوية، وتقييم مستوى أداء المحاصيل التي تحمل الملوحة. ويستخدم التصوير الموجي والأشعة تحت الحمراء والبيانات المتعددة الأطيف مثل بيانات لاندستات في اكتشاف ملوحة التربة وتغيراتها (Allbed & Kumar, 2013, p.374).

يعتبر حوض وادي موزع من أكثر الأحواض الزراعية أهمية على مستوى اليمن ومحافظة تعز، ويقع الحوض بم منطقة تمتاز بتركز كبير للسكان، حيث تأتي محافظة تعز في المرتبة الأولى من حيث عدد السكان في اليمن، وفي المرتبة الثانية من حيث كثافة السكان، لذا فإن اكتشاف ملوحة التربة من المركبات الفضائية من الأمور المهمة لإدارة تربة الحوض التي تعد من أهم الموارد المتعددة،

المتأثرة باستخدام مؤشرات الغطاء النباتي (Matinfar, 2023). وبذلك يعتبر الاستشعار عن بعد اداة مفيدة في رصد الاراضي المتأثرة بالملوحة، واتخاذ القرار المناسب للحد من المخاطر المترتبة عليها، وتحقيق أهداف الدراسة، تم اتباع منهجية تدرجت كما يأتي:

**مراجعة الأدبيات:** لتحديد المؤشرات الطيفية الالامنة لتحقيق هذه الأهداف، كمؤشر الملوحة والسطوع والاختلاف الملوحة الطبيعي وغيرها، وبين استخدام مؤشرات ملوحة التربة بشكل اساسي لاكتشاف ملوحة التربة بالاعتماد على الاستجابات المختلفة للتربة الملوحة في مختلف الاطياف.

**جمع البيانات:** وتمثل بنموذج ارتفاع رقمي (DEM) للنهر (SRTM)، ومرئيات لاندستس (5، 8) خلال شهري مارس عامي (2000 - 2023) من المساحة الجيولوجية الأمريكية (<https://earthexplorer.usgs.gov>).

**معالجة البيانات:** وفيها تمت معالجة نموذج الارتفاع الرقمي بعمل موزاييك (Moosic) لعدة لوحات، واستكمال القيم الغير معروفة لارتفاع بعض الخلايا، وبالتالي تم تحديد اتجاه وحجم الجريان وانتهاء شبكة التصريف، وبالتالي تحديد حدود الملوحة أو خط تقسيم مياه الملوحة باستخدام أدوات هيدرولوجي (Hydrology). وبالتالي معالجة مرئيات لاندستس، من خلال استعمال عدد من أدوات المعالجة في برنامج (Erdas Imagine)، ليسقى تطبيق مؤشرات الملوحة تصحيح نطاقات المرئيات، اذ يمكن أن تسبب التشوهات الهندسية تحليل غير دقيق الملوحة التربة، وبدأت الدراسة بإجراء تصحيح هندسي. وكذلك تصحيح إشعاعي لإزالة تأثير الظروف الجوية، فيما يضمن أن تكون قيم الانعكاس في خلايا مرئي لاندستس (2000 - 2023) أكثر دقة في تمثيل ملوحة تربة الملوحة، ليتم تحويل القيم الانعكاسية إلى قيم إشعاعية. فيما أن هناك عدة مرئيات تشتهر في نقطية الملوحة قامت الدراسة بعمل (Moosic) لنطاقات المرئيات. وبعدها تم استخدام اداة (Create subset image) للاقطاع على حدود الملوحة. وبعد الانتهاء من المعالجة انتقلت الدراسة للخطوة الخامسة المتمثلة بـ:

**تطبيق مؤشرات الملوحة:** هناك علاقة وطيدة بين الانعكاس الطيفي للتربة وخصائصها كالملوحة، لذا طورت مجموعة من المؤشرات الطيفية لمراقبة الملوحة، فيبعد معالجة نطاقات المرئيات تم استخدام الحاسبة الخلوية (ARC GIS) لتطبيق الصيغ الرياضية الخاصة بالمؤشرات الطيفية الآتية:

**مؤشر الملوحة (Salinity index)** مؤشر الملوحة محسوب من خلال الجذر التربيعي لحاصل ضرب قيم انعكاس النطاقين الأخضر (G) والأحمر (R). ويقدم رؤىً جيدة عن ملوحة التربة وبحسب المعادلة:

$$SI = \sqrt{Green * Red.} \quad (Douaoui \text{ et al, 2006}).$$

**مؤشر الاختلاف الطبيعي للملوحة (Normalized difference salinity index)**، وهو أداة استشعار تستخدم لتقدير ملوحة كل من التربة والمسطحات المائية، ويحسب بالمعادلة:

$$NDSI = (Red - NIR) / (Red + NIR). \quad (Khan \text{ et al, 2005})$$

**مؤشر النبات المعدل للتربة (Soil Adjusted Vegetation Index)**، يحسب بالصيغة الرياضية الآتية:

$$SAVI = (Nir - Red) / (Nir + Red + 0.5) * 1.5. \quad (Bouaziz \text{ et al, 2011})$$

**مؤشر السطوع (Brightness index)** وهو مقياس لشدة انعكاسية سطح التربة، ويقاس بالمعادلة:

$$BI = \sqrt{(Red2+NIR2)}. \quad (Khan \text{ et al, 2005})$$

**مؤشر ملوحة النبات (Vegetation soil salinity index)** أحد المؤشرات التي تستخدم لقياس ملوحة التربة من خلال تحديد مدى إجهاد الغطاء النباتي بالملوحة، ويحسب بالصيغة الرياضية:

$$VSSI = (2 * Green - 5) * (Red + NIR). \quad (Dehni \text{ & Lounis, 2012})$$

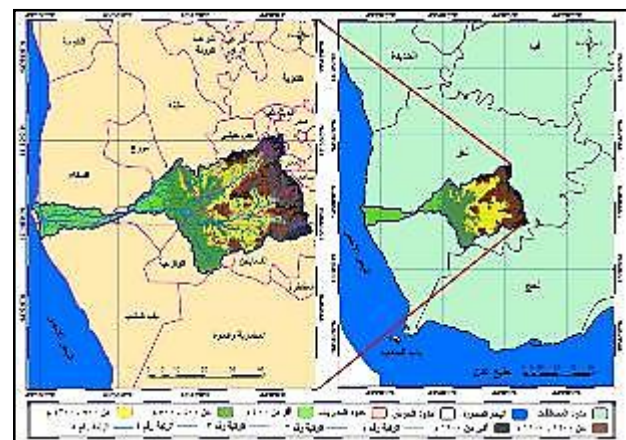
وتحتاج الملوحة زمانياً ومكانياً، ويمكن تحقيق ذلك من خلال مزيدات الاستشعار عن بعد. وعلى الرغم من البدء برسم خرائط التربة منذ عقود، لكن لا تتوفر خرائط موثوقة وحديثة على مساحات جغرافية واسعة. وبالتالي هناك حاجة إلى معلومات عن ملوحة التربة لتحسين تحطيط وتغذية برامج فعالة لاستصلاح التربة؛ لهذا من المهم مراقبة ورسم خرائط تملح التربة في مراحل مبكرة من أجل تفعيل اساليب استصلاح التربة، فيما يساعد على الحد من اتساع مساحة التربة الملوحة.

وتتبع أهمية هذا الدراسة من عدم توفر قاعدة معلومات تحدد موقع التربة التي تعرضت للتل محل وتغيراتها خلال 23 عام من بيانات الاستشعار عن بعد، لما لها من أهمية تساعد المخطط وصانع القرار في وزارة الزراعة والري على الحد من اتساع هذه الظاهرة والمخاطر المترتبة عليها.

وبذلك تهدف هذه الدراسة لرصد ملوحة التربة في حوض وادي موزع باستخدام بيانات الاستشعار عن بعد وتطبيق عدد من المؤشرات الطيفية. والكشف عن تغير ملوحة التربة في الملوحة بين عامي 2000 - 2023. وتقييم ملوحة تربة الملوحة على مساحة تغطي مختلف التقنيات الجيومكانية.

## المواضيع والطرق

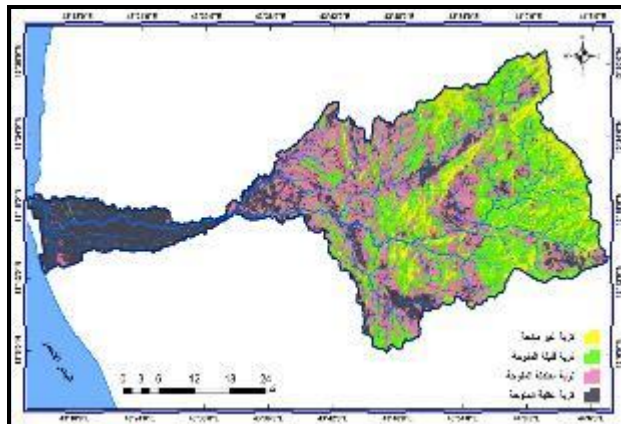
يقع حوض وادي موزع وسط محافظة تعز ضمن مديرية: المعاشر والشمايتين والواسط والمراح وصبر المادم وجبل حبشي والوازعية وموزع وباب المندب، ويقع الملوحة فلكياً كما يوضح شكل (1) بين دائري عرض  $13^{\circ} 33' 10''$  -  $13^{\circ} 07' 36''$ ، وبين خطى  $N$   $13^{\circ} 33' 10''$  -  $13^{\circ} 07' 36''$ ، وبين خطى طول  $E$   $44^{\circ} 07' 12''$  -  $41^{\circ} 14' 50''$ ، وبمساحة  $1675.8 \text{ km}^2$ ، وهو أحد أودية اليمن الرئيسية التي تصب في البحر الأحمر، تبدأ روافده العليا من مرتفعات ذيحان والاصابع والعرازع التابعة ادارياً لمديرية الشمايتين، ومرتفعات الأشروح وبني حماد والأعلون والأيقون وبني عباس وبني يوسف التابعة ادارياً لمديرية المواسط، ومرتفعات الجبنة والشوعية والسواء التابعة ادارياً لمديرية المعاشر، ويصب مجراه الوادي في البحر الأحمر شمال مديرية باب المندب جنوب مديرية المخا.



شكل (1) موقع حوض وادي موزع

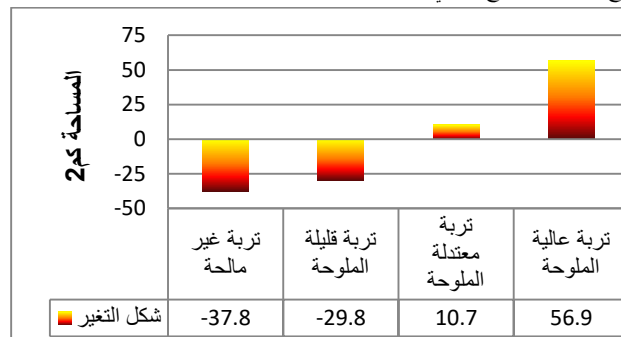
اقتصر منهجيات قياس ملوحة التربة على جمع وتحليل العينات من أجل تحديد الموصولة الكهربائية للتربة، أو مدى الترکز الكلي لأملاح التربة، وتحتاج هذه الطريقة إلى وقت طويل، وتتكلف أعلى. ومع ظهور تقنية الاستشعار عن بعد بزت منهجية ذات كفاءة وسرعة في رصد ملوحة التربة، ورسم خرائطها، من صور الأقمار الصناعية، الملتقطة بأجهزة الاستشعار عن بعد (Terra, Aster, Irs, Eoi, Ikonos, Spot, Landsat, Azabadaftari & Suna, 2016, p3).

هناك طريقتان للكشف عن ملوحة التربة من بيانات الاستشعار عن بعد الأولى من خلال تحطيط الانعكاس الطيفي للتربة العارية، وتحديث البحث عن الملوحة والقشرة، باستخدام مؤشرات الملوحة (Salem and Jia, 2024). والثانية تحطيط الانعكاس الطيفي للنباتات على التربة



شكل (4) فاتح ملوحة التربة بمؤشر الملوحة عام 2023

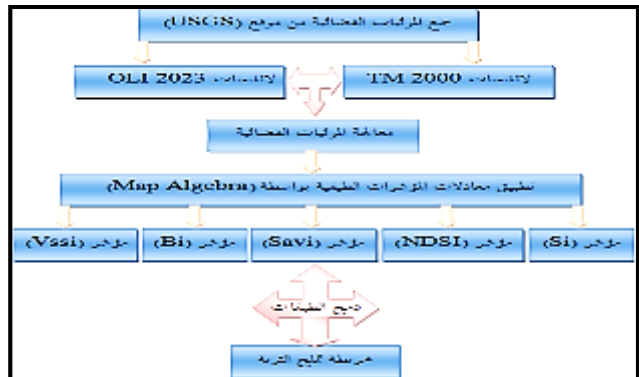
واظهر نتائج كشف أنماط التغيرات التي طرأت على ملوحة تربة الحوض بين عامي 2000 - 2023 في الشكل (5) تغير التربة التي لا تعاني من ملوحة بشكل سلي، حيث تراجعت مساحتها بنحو 37.8 كم<sup>2</sup>. وكذلك الحال مع التربة قليلة الملوحة التي تراجعت مساحتها بحوالي 29.8 كم<sup>2</sup>. في مقابل ذلك زادت مساحة التربة معتدلة الملوحة بنحو 10.7 كم<sup>2</sup>، فضلاً عن التربة التي تعاني من ملوحة عالية بنحو 56.9 كم<sup>2</sup> خلال المدة نفسها، مما يعني تفاقم مخاطر تملح التربة على الإنتاج الزراعي بين مدة وأخرى.



شكل (5) تغير تملح التربة بمؤشر الملوحة بين عامي 2000 - 2023

ثانياً: مؤشر الاختلاف الطبيعي للملوحة: مؤشر مهم لرصد ملوحة التربة، وتقدير صحتها، وفهم ظروف الجفاف الميدريولوجي، خاصة في المناطق الجافة وشبة الجافة، ويستخدم في مراقبة ملوحة التربة، التي تغير مشكلة بيئية خطيرة لأنها تعيق نمو النباتات وتؤثر على إنتاج المحاصيل، وتدل درجة الانعكاس العالي في النطاق الأحمر ودرجة الانعكاس المنخفضة في الأشعة تحت الحمراء القرية إلى ارتفاع مستوى ملوحة التربة والعكس.

توضح نتائج اشتراق طبقة تملح التربة باستخدام مؤشر اختلاف الملوحة الطبيعي من مرئية عام 2000 شكل (6) تباين توزيع مستويات تملح التربة، حيث ترتفع ملوحة التربة أدنى الحوض بينما ترتفع درجات الحرارة، وتقل كمية الأمطار، وتزداد معدلات التبخر، مما يؤدي إلى ظهور طبقة ملحية في سطح التربة، ويعاني أدنى الحوض من ترسب الأملاح المنقولة ب المياه السيلوان من أعلى الحوض، فضلاً عن تأثير ملوحة مياه البحر، وتقل ملوحة التربة تدريجياً كلما اتجهنا من أدنى الحوض نحو أعلى الحوض أي مع ازدياد كمية الأمطار وانخفاض درجات الحرارة ومعدلات التبخر. وبذلك فقد بلغت مساحة التربة غير المالحة عام 2000 نحو 139 كم<sup>2</sup>، بنسبة 48.3%، وبنسبة 51.7% تقع حيث ترتفع كمية الأمطار التي تعرّض التربة لغسل الأملاح بشكل مستمر. فيما تقل مساحة التربة التي تتحفظ فيها الملوحة نحو 253.5 كم<sup>2</sup>، بنسبة 27%، وتظهر بمحاذة التربة التي تتصف بأعلى مالحة أعلى ووسط الحوض. وتغطي التربة التي تتصف باعتدال الملوحة 822.4 كم<sup>2</sup>، بنسبة 49%، وتوزع بجوار الترب قليلة الملوحة وسط وغرب الحوض. وبلغت مساحة التربة التي تتصف بملوحة عالية نحو 260.8 كم<sup>2</sup>، بنسبة 15.6% من إجمالي مساحة الحوض، وتقع حيث تقل كمية الأمطار وتزداد درجات الحرارة، ومعدلات التبخر، ويعتمد على المياه الجوفية في المحاصيل.

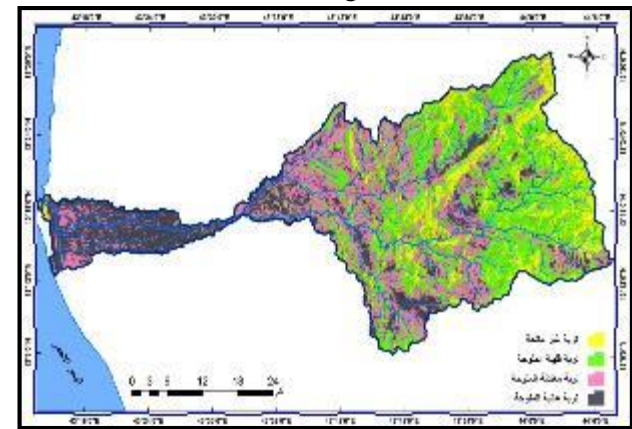


شكل (2) مخطط منهجية الدراسة

### النتائج والمناقشة:

أولاً: مؤشر الملوحة: يقيس علاقة الموصولة الكهربائية ببرطوبة التربة، وبين مدى ترک الملوحة في الترب الرطبة. وعليه توضح نتائج اشتراق ملوحة التربة في حوض وادي موزع باستخدام مؤشر الملوحة (Salinity index) من مرئية عام 2000، في الشكل (3) تباين توزيع ملوحة التربة، اذ ترتفع أدنى الحوض، حيث تشتت الحرارة، وتقل كمية الأمطار، وتزداد معدلات التبخر؛ مما يؤدي إلى تملح التربة، وتعتبر هذه المنطقه ايسائية للماء المنقوله من أعلى الحوض، وتتأثر بملوحة مياه البحر.

وبذلك بلغت مساحة التربة التي لا تعاني من الملوحة نحو 279.3 كم<sup>2</sup>، بنسبة 16.7% من مساحة الحوض، وتقع في المناطق المتفعة، حيث تزداد كمية الأمطار، وتعرض التربة لغسل الأملاح بشكل دوري. ومساحة التربة التي تتصف بقلة الملوحة نحو 565 كم<sup>2</sup>، بنسبة 33.7%， وظاهر بجوار الترب غير المالحة أعلى ووسط الحوض. وتغطي التربة التي تسمى بملوحة معتدلة حوالى 497.3 كم<sup>2</sup>، بنسبة 29.7%， وتنتشر على مقدمة من الترب قليلة الملوحة وسط الحوض. وتعمل الترب ذات الملوحة العالية نحو 334.1 كم<sup>2</sup>، بنسبة 19.9% من إجمالي مساحة الحوض، وتوزع أدنى الحوض حيث تقل كمية الأمطار وتزداد درجات الحرارة ومعدلات التبخر.



شكل (3) فاتح ملوحة التربة بمؤشر الملوحة عام 2000

من جهة أخرى توصلت تطبيق مؤشر الملوحة على مرئيات لاندستس 2023 أن مساحة التربة التي لا تعاني من ملوحة بلغت نحو 241.5 كم<sup>2</sup>، بنسبة 14.4%， وتظهر كما في الشكل (4) أعلى الحوض، حيث تزداد كمية الأمطار مناسبة لغسل الطبقه العليا من التربة سنوياً. وتعمل التربة التي تتصف بقلة الملوحة نحو 535.2 كم<sup>2</sup>، بنسبة 31.9%， وتوزع بجوار الترب غير المالحة أعلى ووسط حوض وادي موزع. وبلغت مساحة التربة معتدلة الملوحة نحو 508 كم<sup>2</sup>، بنسبة 30.1%， وتنتشر بالقرب من الترب قليلة الملوحة وسط الحوض. وتغطي التربة التي تتصف بارتفاع الملوحة نحو 391 كم<sup>2</sup>، بنسبة 23.3% من إجمالي مساحة الحوض، وتظهر أدنى الحوض، حيث تقل كمية الأمطار وتزداد درجات الحرارة ومعدلات التبخر، ويتم الاعتماد على المياه الجوفية في المحاصيل.

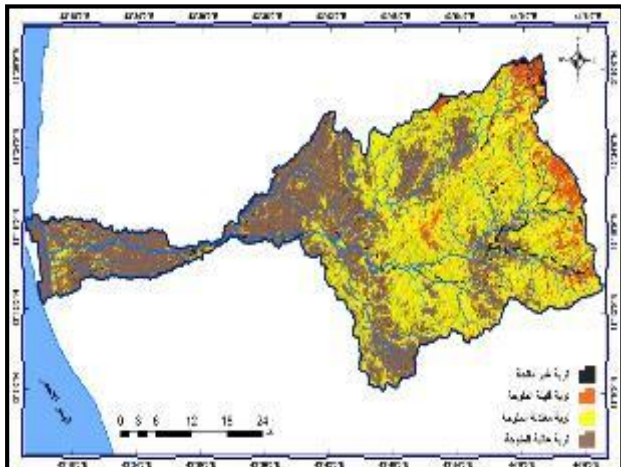
2023

ثالثاً: مؤشر النبات المعدل للتربيه: تم تطوير مؤشر النبات المعدل للتربيه لتصحيح تأثير سطوع التربة عندما تقل كثافة الغطاء النباتي عن 40%， أي عندما يكون الغطاء النباتي مفتوح جداً، وهناك مساحة واسعة من التربة العاريه التي يؤثر لوحجا بشكل كبير على الإشارة الطيفيه، وبالتالي يفضل تقدير الكلة الحيوية باستخدام مؤشر (SAVI).

ويتغير هذا المؤشر من أفضل مؤشرات قياس العلاقة الخطية بين الانعكاسات الطيفية الحمراء والقريبة للتربيه العاريه مختلفة النوع والرطوبه والخشونة (Gilabert *et al*, 2002, p.303). ويستخدم هذا المؤشر للتقليل من تأثير سطوع التربه، بناءً على الموجات الطيفية الحمراء والقريبة، وبعد أكثر كفاءة من مؤشر (NDVI) في اشتئاق الغطاء النباتي بالمناطق الجافة وشبة الجافة (Vain, 2017, p. 560).

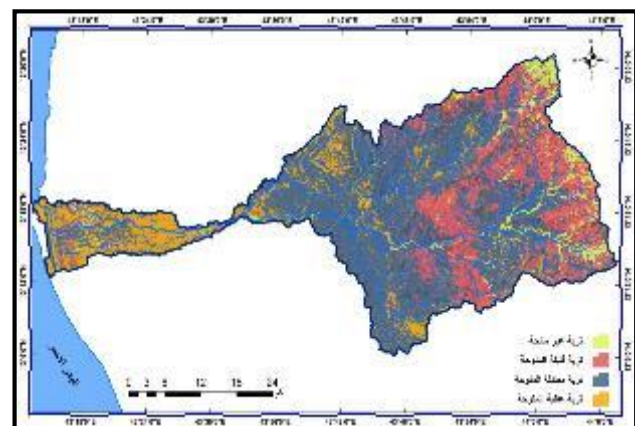
توضيح نتائج تطبيق مؤشر النبات المعدل للتربيه (Soil Adjusted Vegetation Index) على نطاقات مرئية لاندستات عام 2000، كما يوضح الشكلين (9, 10) ارتفاع مستويات ملوحة أدنى الحوض حيث تمارس الزراعة المعتمدة على المياه الجوفيه، وتتفق درجات الحرارة، وتقل كمية الأمطار، وتتفق معدلات التبخر. والعكس تماماً في الجزء الأعلى من الحوض حيث ترتفع كثافة الغطاء النباتي؛ مما يشير إلى وجود الترب غير المالحة أو القليلة الملوحة.

ويندلع ذلك بارتفاع مساحة التربة التي لا تتعانى من ملوحة نحو  $37.4 \text{ km}^2$ ، بنسبة 6.2.2%， وتنعدم كما يوضح شكل (9) حيث تغسل تربة المدرجات الزراعية وتربيه مجريي الأودية بشكل مستمر بياه الأمطار الموسمية. وتمثل التربة قليلة الملوحة حوالي  $199.2 \text{ km}^2$ ، بنسبة 11.9% من مساحة الحوض، وظهور بمناطق انتشار الترب غير المالحة في أعلى ووسط الحوض. ويبلغ مساحة التربة التي تتسم بملوحة معتدلة  $765 \text{ km}^2$ ، بنسبة 45.7% من مساحة الحوض، وتنتشر بالقرب من الترب قليلة الملوحة وسط وغرب الحوض. وتختفي الترب ذات الملوحة العالية  $674 \text{ km}^2$ ، بنسبة 40.2% من إجمالي مساحة الحوض، وتتميز أدنى الحوض حيث تتوفر المتغيرات المناخية والطوبوغرافية المناسبة لتملّح التربة.



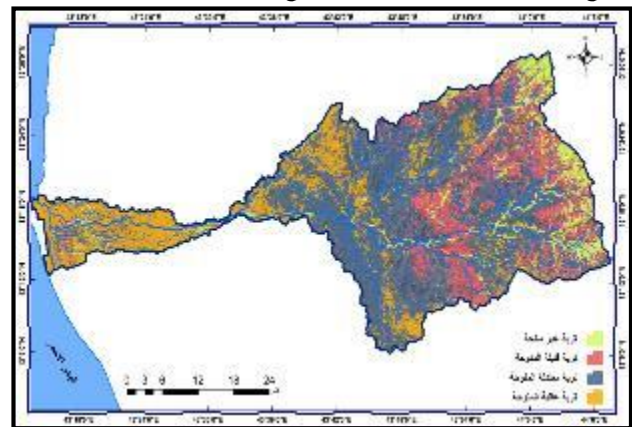
شكل (9) فنات ملوحة التربة بمؤشر النبات المعدل للتربيه عام 2000

من جانب آخر توصلت نتائج التحقق من ملوحة التربة بتطبيق مؤشر النبات المعدل للتربيه على نطاقات مرئية لاندستات عام 2023 أن مساحة التربة التي لا تتعانى من تملح قد بلغت نحو  $65.9 \text{ km}^2$ ، بنسبة 3.9% من مساحة الحوض، وظهور كما يوضح شكل (10) حيث تغسل مياه الأمطار ترب المدرجات والأودية العليا سوياً. وبلغت مساحة التربة التي تتسم بقلة الملوحة  $815.7 \text{ km}^2$ ، بنسبة 48.7%， وتفع بمحاذاة التربة الساقية حيث تقل الملوحة أعلى ووسط الحوض. وتمثل التربة التي تتتصف باعتدال الملوحة حوالي  $789 \text{ km}^2$ ، بنسبة 64.7%， وتتميز على مقربة من الترب قليلة الملوحة وسط وأدنى الحوض. وتشكل التربة التي تتتصف باعتدال الملوحة



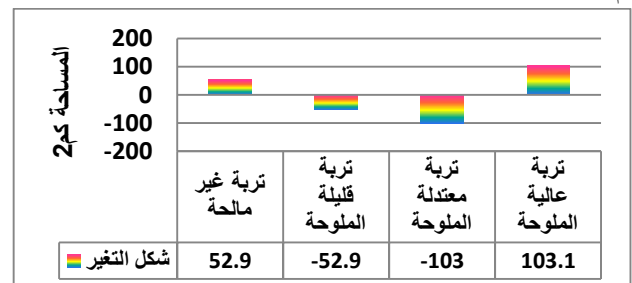
شكل (6) فنات ملوحة التربة بمؤشر الاختلاف الطبيعى للملوحة 2000

في المقابل بلغت مساحة التربة التي تتصنف بكونها غير ملحة عام 2023 نحو  $191.9 \text{ km}^2$ ، بنسبة 11.5% من مساحة الحوض، وتفع كما يوضح شكل (7) أعلى الحوض، حيث تمارس الزراعة المعتمدة على مياه الأمطار الموسمية. وغضط التربة التي تتسم بقلة ملوحتها  $400.6 \text{ km}^2$ ، بنسبة 23.9%， وظهور بمناطق محاذاة للسايقه اينما لا توجد ملوحة أعلى ووسط الحوض. ومساحة التربة معتدلة للملوحة  $719.4 \text{ km}^2$ ، بنسبة 42.9% من مساحة الحوض، وتفع بالقرب من الترب قليلة الملوحة وسط وغرب الحوض. فيما بلغت مساحة الترب ذات الملوحة العالية  $9.3 \text{ km}^2$ ، بنسبة 21.7% من إجمالي مساحة الحوض، وتفع غرب الحوض حيث ترسب الأملاح المقولقة من المرتفعات، وتقل الأمطار، وتتفع الحرارة والتبخر.

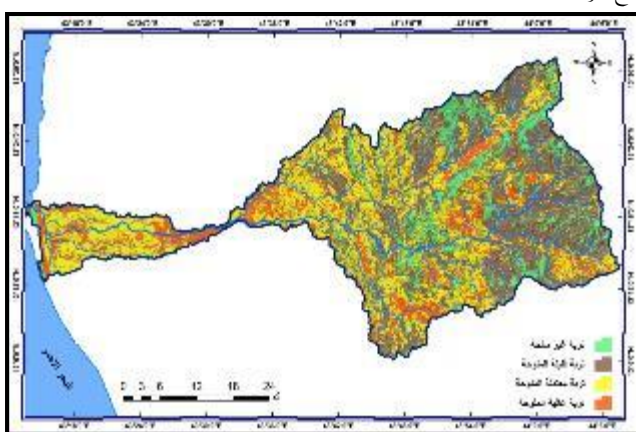


شكل (7) فنات ملوحة التربة الاختلاف الطبيعى 2023

وفما يتعلق بنمط التغير الذي طرأ على مستويات تملح التربة في الحوض بين عامي 2000 - 2023، يظهر شكل (8) زيادة مساحة التربة التي تتصنف بأعماً غير ملحة بـ  $52.9 \text{ km}^2$ ، بينما زادت مساحة التربة التي تتصنف بارتفاع الملوحة بـ  $103.1 \text{ km}^2$ ، مما يعني تعرض التربة في الحوض لمزيد من التدهور بين مدة وأخرى. في الوقت نفسه تراجعت مساحة كل من: التربة التي تتتصف بقلة الملوحة بـ  $52.9 \text{ km}^2$ ، والتربة التي تتتصف باعتدال الملوحة بـ  $103 \text{ km}^2$ .

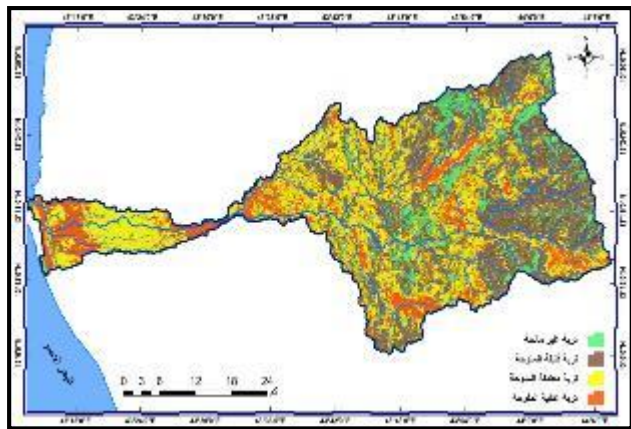


شكل (8) تغير ملوحة التربة بمؤشر الاختلاف الطبيعى للملوحة بين عامي 2000



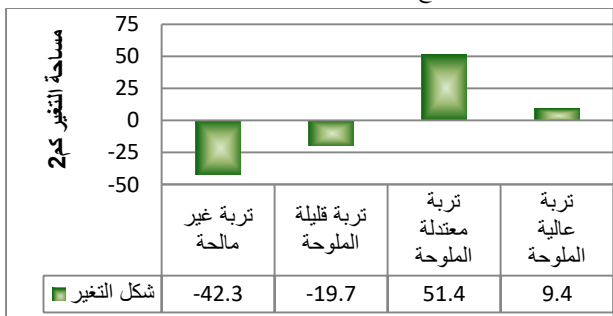
شكل (12) فات ملوحة التربة حسب مؤشر السطوع عام 2000

في المقابل بلغت مساحة التربة غير المالحة عام 2023 نحو  $224.5 \text{ km}^2$ ، بنسبة 13.4%， وتقع كما يبين شكل (13) أعلى ووسط الملوحة، حيث تغسل مياه الأمطار الموسية ملوحة التربة. فيما تمثل مساحة التربة قليلة الملوحة  $565.2 \text{ km}^2$ ، بنسبة 33.7%， وتتميز بمحاذة مياه غير المالحة أعلى ووسط الملوحة. وتغطي التربة التي تتسم بملوحة معتدلة  $588.3 \text{ km}^2$ ، بنسبة 35.1%， وتظهر بالقرب من التربة التي تتحفظ فيها الملوحة وسط وغرب الملوحة. وبلغت مساحة التربة عالية الملوحة  $297.7 \text{ km}^2$ ، بنسبة 17.2% من إجمالي مساحة الملوحة، وتظهر بمناطق مختلفة من الملوحة بالذات حيث تتوافر ظروفها المناسبة أعلى الملوحة.



شكل (12) فات ملوحة التربة حسب مؤشر السطوع عام 2023

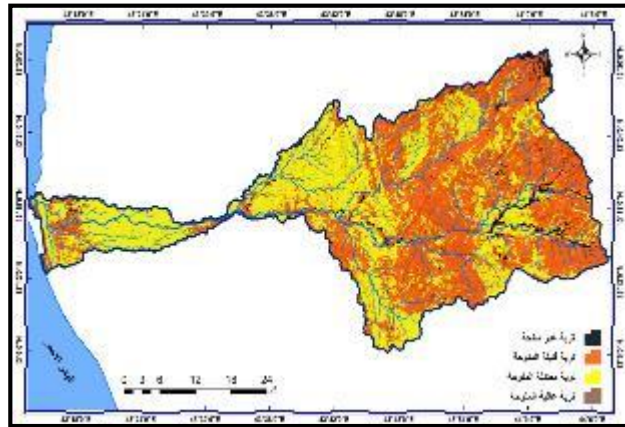
وفيما يتعلّق بالتغيير الذي طرأ على ملوحة التربة بين عامي 2000-2023، يظهر شكل (14) تراجع مساحة التربة غير المالحة بـ  $42.3 \text{ km}^2$ ، وكذلك مساحة التربة التي تتصف بملوحة قليلة بـ  $19.7 \text{ km}^2$ . وزادت مساحة التربة التي تتسم بملوحة معتدلة بـ  $51.4 \text{ km}^2$ ، والتربة التي تتصف بارتفاع ملوحة التربة بـ  $9.4 \text{ km}^2$ ، وتعكس هذه النتائج أن التربة تتعرض للتدهور بسبب التملح بين مدة وأخرى.



شكل (14) تغير تملح التربة بمؤشر السطوع بين عامي 2000-2023

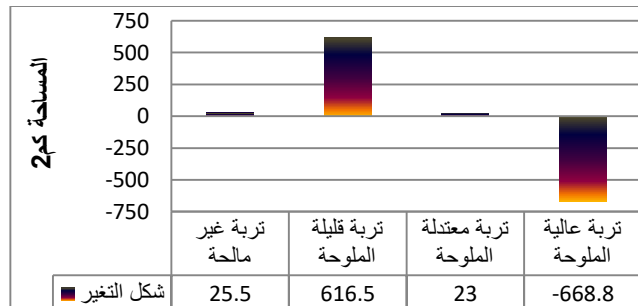
خامساً) مؤشر ملوحة النبات: أحد المؤشرات التي تقيس ملوحة التربة عن طريق الغطاء النباتي،

بلغت مساحة التربة غير المالحة نحو  $266.7 \text{ km}^2$ ، بنسبة 15.9%， وتقع كما يوضح شكل (12) أعلى الملوحة. فيما تغطي التربة غير المالحة في أعلى ووسط الملوحة. فيما بلغت مساحة التربة التي تتسم بملوحة معتدلة  $536.9 \text{ km}^2$ ، بنسبة 34.9%， وتظهر بجوار التربة قليلة الملوحة وسط وغرب الملوحة. وبلغت مساحة التربة التي تتصف بملوحة عالية  $287.3 \text{ km}^2$ ، بنسبة 17.1% من إجمالي مساحة الملوحة، وتقع أعلى الملوحة حيث تتوافر كل مقومات



شكل (10) فات ملوحة التربة بمؤشر النبات المعدل للسنة عام 2023

توصلت نتائج تحليل التغيرات المكانية لملوحة التربة من مؤشر الغطاء النباتي المعدل للتراب بين عامي 2000-2023، في الشكل (11) إلى زيادة مساحة التربة التي تتصف بأنها غير ملحية بـ  $616.5 \text{ km}^2$ . وشهدت التربة التي تتصف بقلة الملوحة نمواً إيجابياً سريعاً بـ  $25.5 \text{ km}^2$ . فيما تراجعت مساحة التربة التي تتسم بملوحة عالية بـ  $23 \text{ km}^2$ . فيما تراجعت مساحة التربة التي تتسم بملوحة معتدلة بـ  $668.8 \text{ km}^2$ . وتؤكد نتائج مؤشر النبات المعدل للتراب عدم تعرّض تربة الملوحة للتدهور بسبب الملوحة بين مدة وأخرى.



شكل (11) تغير ملوحة التربة بمؤشر النبات المعدل للتراب بين عامي 2000-2023

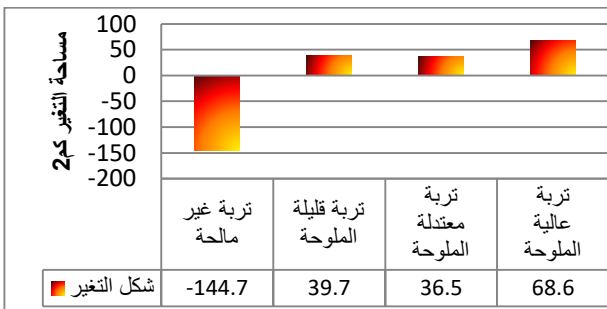
(رابعاً) مؤشر سطوع التربة: هو مؤشر عام يوضح مدى بياض التربة وخصائصها الإشعاعية المتأثرة بارتفاع الأملاح السطحية، وبالتالي يعتبر من المؤشرات المهمة في تقييم ملوحة التربة، فغالباً ما تسبب الملوحة العالية في تبلور الأملاح على سطح التربة، مما يزيد من بياضها، ويعبر ذلك من خلال ارتفاع قيم مؤشر السطوع، لذلك يُستخدم إلى جانب مؤشرات طيفية أخرى لرسم خرائط أكثر شولاً ودقة لملوحة التربة.

وتبين نتائج تطبيق مؤشر السطوع (Brightness index) على نطاقات مرئية لاندستات عام 2000 في الشكل (12) تباين توزيع ملوحة التربة حسب مؤشر السطوع، حيث ترتفع ملوحة التربة أعلى الملوحة بمناطق تتوفر فيها كل مقومات تملح التربة بما في ذلك الحرارة المرتفعة والأمطار القليلة، والتباين العالي، والرالي؛ فضلاً عن ترسب الأملاح المنقولة من أعلى الملوحة، فضلاً عن تأثيرها على ملوحة مياه البحر الأحمر، وتقل ملوحة التربة تدريجياً نحو أعلى الملوحة؛ أي مع تراجع تأثير العوامل المؤثرة في تملح التربة.

وبذلك بلغت مساحة التربة غير المالحة نحو  $266.7 \text{ km}^2$ ، بنسبة 15.9%， وتقع كما يوضح شكل (12) أعلى الملوحة. فيما تغطي التربة غير الملوحة ما مساحتها  $584.9 \text{ km}^2$ ، بنسبة 34.9% من إجمالي الملوحة، وتحاذى التربة غير الملوحة في أعلى ووسط الملوحة. فيما بلغت مساحة التربة التي تتسم بملوحة معتدلة  $536.9 \text{ km}^2$ ، بنسبة 32%， وتظهر بجوار التربة قليلة الملوحة وسط وغرب الملوحة. وبلغت مساحة التربة التي تتصف بملوحة عالية  $287.3 \text{ km}^2$ ، بنسبة 17.1% من إجمالي مساحة الملوحة، وتقع أعلى الملوحة حيث تتوافر كل مقومات

**شكل (16) فئات ملوحة التربة حسب مؤشر تلخ البات 2023**

وفيما يتعلق بتغير ملوحة التربة بين عامي 2000 - 2023 يظهر شكل (17) تراجع مساحة التربة غير الملحية نحو 144.7 كم<sup>2</sup>. وزيادة تغطية كل من التربة قليلة الملوحة بنحو 39.7 كم<sup>2</sup>، والتربة معتدلة الملوحة بنحو 36.5 كم<sup>2</sup>، والتربة عالية الملوحة بحوالي 68.6 كم<sup>2</sup>، وعلىه فإن تربة الحوض تتعرض للتدهور بين مدة وأخرى.

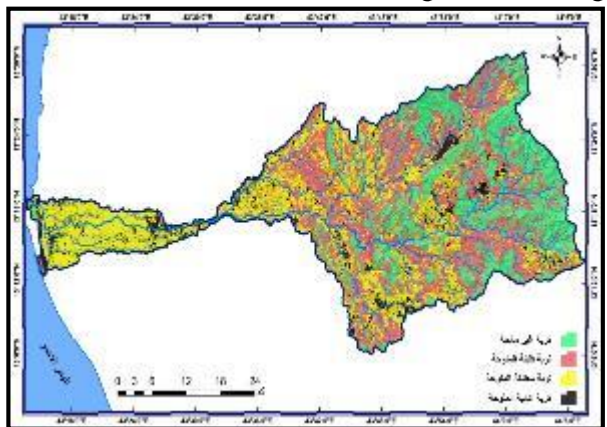


شكل (17) تغير تلخ التربة مؤشر ملوحة النبات بين عامي 2000 - 2023

السادس) تقييم ملوحة التربة: قامت الدراسة بتقييم كلي الملوحة التربة في حوض وادي موزع من خلال دمج طبقات جميع المؤشرات الطيفية لكل عام على حاده في بيئه نظم المعلومات الجغرافية، للحصول على خريطتين رقميتين توضحان الصورة العامة لملوحة التربة في الحوض عامي 2000 و 2023، بناءً على الوزن المرجح لمختلف المؤشرات في كل عام.

وتشير نتائج ذلك في الشكلين (17، 18) ارتفاع ملوحة التربة أدنى الحوض حيث توافر متغيرات المناخية، فضلاً عن ممارسة طرق الري الخاطئ، والإسراف في مياه الري، في أوقات غير مناسبة، واستعمال مياه حوفية مالحة في الري، والاضغط المفروط للمياه الحوفية يؤدي في المناطق الساحلية إلى خفض ضغط المياه العذبة، مما يسمح للمياه المالحة بالتسرب إلى التربة، وسوء صرف المياه الرائدة، وإزالة الغطاء النباتي الفقير. بينما تقل ملوحة التربة كلما اتجهنا نحو أعلى الحوض حيث توافر متغيرات البيئة المناخية والطبوغرافية اللتان تحدان من تراكم الأملاح في التربة.

وبذلك أكدت نتائج دمج طبقات المؤشرات الخمسة عام 2000 أن مساحة التربة التي لا تعي من ملوحة نحو 444.5 كم<sup>2</sup>، بنسبيه 0.28، وتقع بمناطق الغسيل المنتظم لسطح التربة بمياه الأمطار الموسمية. فيما تشكل التربة التي تسمى بملوحة قليلة الملوحة نحو 592.9 كم<sup>2</sup>، بنسبيه 35.4%， وتقع بحوار التربة التي لا تعي من ملوحة في أعلى ووسط الحوض. فيما بلغت مساحة التربة معتدلة الملوحة 490.5 كم<sup>2</sup>، بنسبيه 29.3%， وتنتشر بجانب التربة قليلة الملوحة وسط وغرب الحوض. وتغطي التربة عالية الملوحة 147.9 كم<sup>2</sup>، بنسبيه 8.8% من إجمالي مساحة الحوض، وتغطي أدنى الحوض حيث ترتفع درجات الحرارة ومعدلات التبخر.



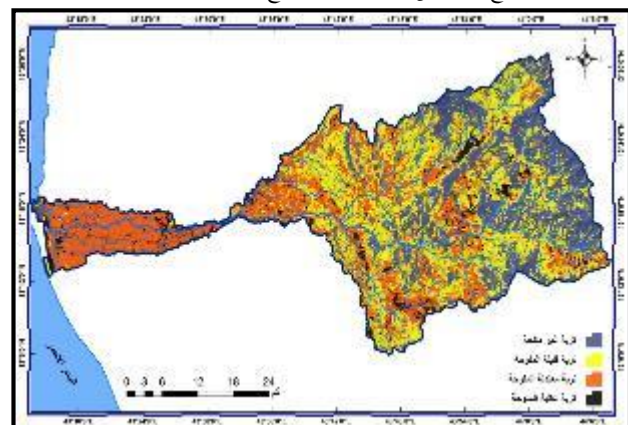
شكل (17) تقييم ملوحة التربة في الحوض عام 2000

من جانب آخر تظهر نتائج تقييم ملوحة التربة بعد دمج طبقات المؤشرات الطيفية لعام 2023 تغطية التربة التي لا تعي من ملوحة نحو 324.4 كم<sup>2</sup>، بنسبيه 19.4% من مساحة الحوض، وتغطي كما يوضح شكل (18) في المنطقة الأكثر غرارة بالأمطار الموسمية أعلى الحوض.

وذلك من خلال تحليل تأثير الإجهاد الملحى على الانعكاس الطيفي للنبات، خاصة في نطاقى المجال المجرى، والأشعة تحت الحمراء القريبة، حيث تؤدى الملوحة الى إجهاد النبات، مما يؤدي الى زيادة انعكاس المجال المجرى، والانخفاض انعكاس الأشعة تحت الحمراء القريبة.

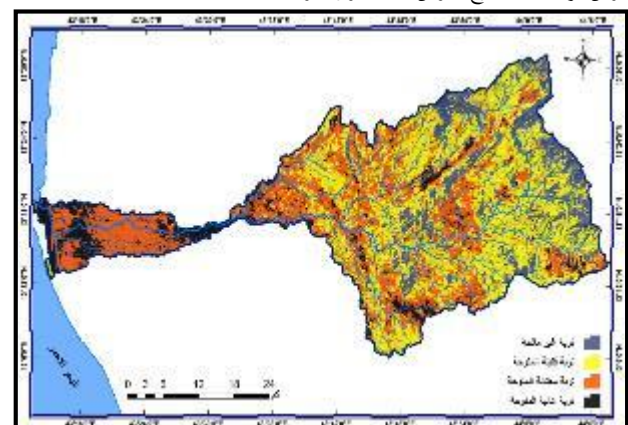
توضح نتائج الكشف عن ملوحة التربة مؤشر Vegetation soil salinity (index) في الشكلين (15، 16) ارتفاعها أدنى الحوض، حيث توافر كل مقومات الملوحة؛ لاسيما درجات الحرارة الشديدة، والانخفاض كمية الأمطار، وارتفاع معدلات التبخر، وأساليب تراكم الأملاح في الطبقة العليا من التربة.

وبذلك بلغت مساحة التربة غير الملحية نحو 469.2 كم<sup>2</sup>، بنسبيه 28% من مساحة الحوض، وتظهر حيث تغسل مياه الأمطار الموسمية الأملاح من الطبقة العليا للتربة. وقتل مساحة التربة التي تتصف بقلة الملوحة 595 كم<sup>2</sup>، بنسبيه 35% من مساحة الحوض، وتقع بمحاذة التربة التي لا تعي من الملوحة أعلى ووسط الحوض. وتغطي التربة التي تتصف بملوحة معتدلة نحو 483 كم<sup>2</sup>، بنسبيه 28.8% من مساحة الحوض، وتغطي بحوار التربة قليلة الملوحة وسط وغرب الحوض. فيما بلغت مساحة التربة التي تسمى بملوحة عالية 128.5 كم<sup>2</sup>، بنسبيه 7.7% من إجمالي مساحة الحوض، وتقع حيث تقل كمية الأمطار، وترتفع درجات الحرارة، والتبعثر أدنى الحوض.



شكل (15) فئات ملوحة التربة حسب مؤشر تلخ البات 2000

في مقابل ذلك تظهر نتائج تطبيق تطبيق مؤشر ملوحة النبات من مصادر لاندستس عام 2023، أن مساحة التربة غير الملحية في الحوض غطت ما مساحتها نحو 324.5 كم<sup>2</sup>، بنسبيه 19.4%， وتقع كما يبين شكل (16) حيث تترك الأمطار الغزيرة التي تغسل سطح التربة بشكل سنوى. وببلغت مساحة التربة التي تتصف بقلة الملوحة نحو 634.7 كم<sup>2</sup>، بنسبيه 37.9% من مساحة الحوض، وتظهر في أعلى ووسط الحوض. وتغطي التربة التي تسمى بملوحة معتدلة نحو 519.4 كم<sup>2</sup>، بنسبيه 31% من مساحة الحوض، وتظهر بمحاذة التربة التي لا تعي من الملوحة وسط وأدنى الحوض. فيما بلغت مساحة التربة التي تتصف بملوحة عالية 197.1 كم<sup>2</sup>، بنسبيه 11.8% من إجمالي مساحة الحوض، وذلك عند مخرج الحوض حيث توافر مقومات.



كونها تعطي نتائج مقبولة وبجهد و زمن وتكاليف أقل، كما توصي الدراسة بمقابلة نتائج اشتقاء ملوحة التربة من المريئات الفضائية معأخذ عينات من التربة وفحصها لمعرفة الملوحة الكهربية. وتوصي الدراسة بتطبيق استراتيجيات في مناطق الترب التي تواجه خطر الملوحة بتحسين صرف المياه، وتحسين بنية التربة من خلال إضافة المواد العضوية، واستعمال المحاصيل الملحة لامتصاص الملح، وتحسين طرق زراعة المحاصيل.

### المراجع:

اصلح، إسلام. (2015). ملوحة التربة في محافظة خان يونس. رسالة ماجستير غير منشورة، قسم الجغرافي، الجامعة الإسلامية، غزة.

موصللي، عماد الدين. (1981). جغرافية الترب. مطبعة ابن حيان، دمشق.

Abdelfattah, M. L., Shahid, S. A., Othman, Y. (2009). Soil Salinity Mapping Model Developed Using RS and GIS - A Case Study from Abu Dhabi, United Arab Emirates. European Journal of Scientific Research ,26 (3), 342 - 35. <http://www.eurojournals.com/ejsr.htm>.

Akramkhanov, A., Martius, C., Park, S. J., Hendrickx, J. M. H. (2011). "Environmental factors of spatial distribution of soil salinity on flat irrigated terrain." *Geoderma*, 163 (1-2), 55 - 62. <https://doi.org/10.1016/j.geoderma.2011.04.001>

Allbed, A., Kumar, L. (2013). Soil Salinity Mapping and Monitoring in Arid and Semi-Arid Regions Using Remote Sensing Technology, A review." *Advances in Remote Sensing*, (2), 373-385. <http://dx.doi.org/10.4236/ars.2013.24040>.

Asfaw, E., Suryabagavan, K. V., Argaw, M. (2023). Soil salinity modeling and mapping using remote sensing and GIS: The case of Wonji sugar cane irrigation farm, Ethiopia. *Journal of the Saudi Society of Agricultural Sciences*, 17 (3), 250-258. DOI:10.1016/j.jssas.2016.05.003.

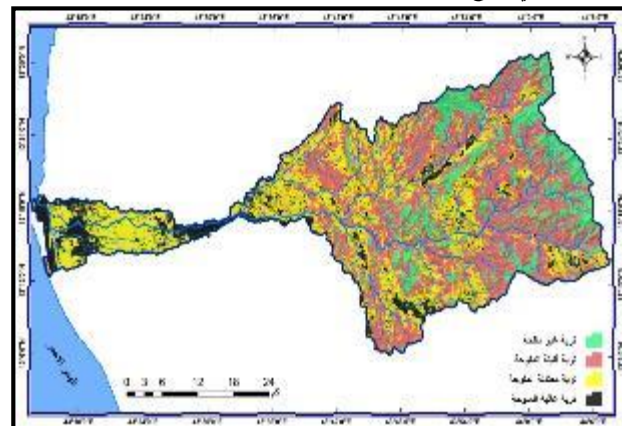
Azabdaftari, A., Suna, F. (2016). Soil Salinity Mapping Using Multitemporal Landsat Data, The International Archives of the Photogrammetry, Remote Sensing and Spatial Information Sciences, XLI-B7, 3-9. DOI:10.5194/isprs-archives-XLI-B7-3-2016.

Bouaziz, M., Matschullat, J., Gloaguen, R. (2011). Improved remote sensing detection soil salinity from a semi-arid climate in northeast Brazil. *Comptes Rendus Geosciences*, 343, 795-803. DOI:10.1016/j.crte.2011.09.003.

Dehni, A., Lounis, M. (2012). Remote Sensing Techniques for Salt Affected Soil Mapping: Application to the Oran Region of Algeria, *Procedia Engineering*, 33, 188 -198. DOI:10.1016/j.proeng.2012.01.1193.

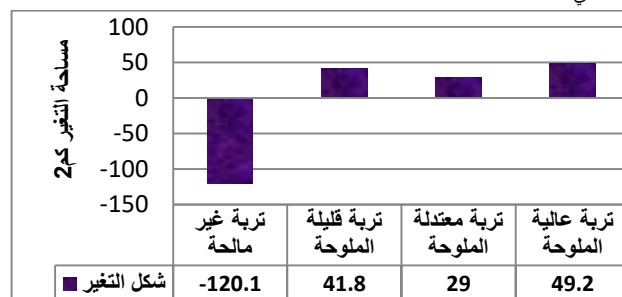
Douaoui, A. E. K., Nicolas, H., Walter, C. (2006). Detecting salinity hazards within a semiarid context by means of combining soil and remote-sensing data. *Geoderma*, 134, 217 - 230. DOI:10.1016/j.geoderma.2005.10.009.

فيما بلغت مساحة التربة التي تتصف بملوحة قليلة  $634.7 \text{ km}^2$ ، بنسبة 37.9% من مساحة الملوحة، وتقع بالقرب من التربة التي لا تعاني من ملوحة في أعلى ووسط الملوحة. ومثل التربة معتدلة الملوحة  $519.5 \text{ km}^2$ ، بنسبة 31% من مساحة الملوحة، وتظهر في مناطق قرية من التربة التي تقل فيها الملوحة وسط وأدنى الملوحة، فيما بلغت مساحة التربة التي تتصف بملوحة عالية  $197.1 \text{ km}^2$ ، بنسبة 11.8% من إجمالي مساحة الملوحة، وتقع أدنى الملوحة حيث يكون الميزان المائي لصالح البحر.



شكل (18) تقدير ملوحة التربة في الملوحة عام 2023

وتحظى نتائج كشف التغير المكانى الذي طرأ على ملوحة تربة الملوحة بين عامي 2000 - 2023 شكل (19) تراجع مساحة التربة غير الملحة بحوالي  $120.1 \text{ km}^2$ . وزيادة مساحة كل من: التربة قليلة الملوحة بحوالي  $41.8 \text{ km}^2$ ، والتربة معتدلة الملوحة بحوالي  $29 \text{ km}^2$ ، والتربة عالية الملوحة التي زادت بحوالي  $29.2 \text{ km}^2$ ، وتفيد هذه النتائج تعرّض تربة الملوحة لمزيد من التدهور بين عامي 2000 - 2023.



شكل (19) تقدير شكل تغير ملوحة التربة بين عامي (2023-2000)

### نتائج و توصيات :

توصلت نتائج الدراسة الى تعرّض تربة الملوحة للتدهور بسبب الملوحة، حيث أكدت نتائج المؤشرات الطيفية عدا مؤشر البات المعدل للتربيه أن هناك زيادة في مساحة التربة التي تواجه خطر الملوحة العالية، وتبينت مساحة الزيادة من مؤشر الى آخر، حيث أظهرت نتائج مؤشر الاختلاف الطبيعي للملوحة أعلى زيادة في مساحة التربة عاليه الملوحة بحوالي  $103.1 \text{ km}^2$ ، واقل زيادة ظهرت ضمن نتائج مؤشر سطوع التربة بحوالي  $9.4 \text{ km}^2$ . وأظهرت نتائج ثلاثة مؤشرات طيفية هي: الملوحة والسطوع وملوحة البات تراجع مساحة التربة غير الملحة، وتحتفل مساحة تراجعاها من مؤشر الى آخر، حيث أظهرت نتائج مؤشر ملوحة النبات اعلى تراجع في التربة غير الملحة بحوالي  $144.7 \text{ km}^2$ . وأكّدت نتائج تبع ملوحة التربة وتغييرها بعد دمج طبقات مختلف المؤشرات الطيفية إلى أن تربة الملوحة تعرّض للتدهور بالملوحة بين مدة وأخرى، بما ينعكس سلباً على التنمية البيئية المستدامة بالذات التنمية الزراعية والحيوية في الملوحة، حيث تراجعت التربة غير الملحة بين عامي 2000 - 2023 بحوالي  $120.1 \text{ km}^2$ ، وزادت مساحة التربة التي تعاني من ملوحة عاليه بحوالي  $50 \text{ km}^2$ . ومن المتوقع أن تغدو نتائج الدراسة المخططين والمزارعين عند ممارسة الأنشطة الزراعية، لأنها توفر الخريطة الأساسية لتنقل التربة بما قد يساعد في اختيار أفضل أنواع المحاصيل مراعنة للحد من المخاطر الاقتصادية في سياق التغيرات المناخية. وبذلك توصي الدراسة بتنبيه ملوحة التربة في أحواض البيات الجافة من خلال المريئات الفضائية

Monitoring Using Landsat Data: A Case Study from Siwa Oasis, Egypt. *GIS Science & Remote Sensing*, 42 (2), 171-181. DOI:10.2747/1548-1603.42.2.171.

Matinfar, H.R. (2013). Detection of Soil Salinity Changes and Mapping Land Cover Types Based upon Remotely Sensed Data, *Arab. J. Geosci*, 6, 913-919

Moreira, L.C. G., Teixeira, A. D. S., Galvão, L. S. (2015). Potential of multispectral and hyperspectral data to detect saline-exposed soils in Brazil. *GIScience & Remote Sensing*, 25 (4), 416 - 436. DOI:10.1080/15481603.2015.1040227.

Narmada, K., Gobinath, K., Bhaskaran, G. (2015). Monitoring and evaluation of soil salinity in terms of spectral response using geoinformatics in Cuddalore environs, *International journal Of Geomatics and Geosciences*, 5 (4), 1-8. <https://scholar.google.com/>.

Salem, O. H., Jia, Z. (2024). Evaluation of Different Soil Salinity Indices Using Remote Sensing Techniques in Siwa Oasis, Egypt. *Agronomy* 2024, 14 (4), 723; <https://doi.org/10.3390/agronomy14040723>

Scudiero, E., Skaggs, T. H., Corwin, D. L. (2015). Regional-scale soil salinity assessment using Landsat ETM canopy reflectance, *Remote Sensing of Environment*, 169, 335 - 343. DOI:10.1016/j.rse.2015.08.026.

Tran, P. H., Nguyen, A. K., Liou, Y. A., Phung, H. P. (2023). Estimation of Salinity Intrusion by Using Landsat 8 OLI Data in The Mekong Delta, Vietnam, DOI: 10.20944/preprints 202308.0301.v1.

United States Geological Survey, Landsat Satellite Image, OLI\_TIRS, date of obtain, (1-8-2023), Website link, (<https://earthexplorer.usgs.gov>).

Vain, V. Mandla, V. R. (2017). Comparative study of NDVI and SAVI vegetation indices in Anantapur district semi-arid areas. *International Journal of Civil Engineering and Technology (IJCET)*, 8 (4), 559-566. <http://www.iaeme.com/IJCET/index.asp>.

Zewdu, S., Suryabhogavan, K. V., Balakrishnan, M. (2017). Geo-spatial approach for soil salinity mapping in Sego irrigation farm South Ethiopia. *J. Saudi Soc. Agric. Sci.*, 16, 16- 24. DOI:10.1016/j.jssas.2014.12.003.

Elhag, M. (2015). Evaluation of Different Soil Salinity Mapping Using Remote Sensing Techniques in Arid Ecosystems, Saudi Arabia. *Journal of Sensors*, 2016, Article ID 7596175, 1-8. DOI:10.3390/agronomy14040723.

Elhag, M., Bahrawi, J. (2017). Soil salinity mapping and hydrological drought indices assessment in arid environments based on remote sensing techniques. *Geoscientific Instrumentation Methods and Data Systems*, 6, 149-158. DOI:10.5194/gi-6-149-2017.

Gilabert, M. A., Piqueras, J. G., Haro, F. G. G., Melia, J. (2002). A generalized soil-adjusted vegetation index. *Remote Sensing of Environment*, 82, 303 – 310. DOI:10.1016/S0034-4257(02)00048-2.

Gorji, T., Tanik, A., Sertel, E. (2015). Soil Salinity Prediction, Monitoring and Mapping Using Modern Technologies. *Procedia Earth and Planetary Science*, 15, 507 - 512. DOI:10.1016/j.proeps.2015.08.062.

Ibrahim, M. (2016). Modling Soil Salinity and Mapping Using Spectral Remote Sensing Data in the Arid and Semi-arid Region. *international Journal of Remote sensing Application*, 6, 76-83. DOI:10.14355/ijrsa.2016.06.008.

Iqbal, S., Mastorakis, N. (2015). Soil salinity mapping and monitoring using Remote sensing GIS, Conference: Dubai Agriculture science biotechnology, food and animal sciences, 15. <http://elfe.tu-sofia.bg/mastorakis>.

Ivushkin, K. (2014). Soil salinity assessment using Remote Sensing and GIS techniques in Syrdarya province of Uzbekistan, A thesis submitted in partial fulfillment of the degree of Master of Science at Wageningen University and Research Centre, The Netherlands. <https://library.wur.nl/WebQuery/theses/2063212>.

Lhissou, B. E. I., Harti, A., Chokmani, K. (2014). Mapping soil salinity in irrigated land using optical remote sensing data. *Eurasian Journal of Soil Science*, 3, 82 - 88. DOI: 10.18393/ejss.84540.

Khan, N. M., Rastoskuev, V. V., Sato, Y., Shiozawa, S. (2005). Assessment of hydrosaline land degradation by using a simple approach of remote sensing indicators. *Agricultural Water Management*, 77, 96 - 109. DOI:10.1016/j.agwat.2004.09.038.

Madani, A. A. (2005). Soil Salinity Detection and